



Laboratorium EMVO Sp. J. Urbański, Pawełak

ul. Jasna 1
00-013 Warszawa

tel. +48 22 780 29 64

e-mail: laboratorium@emvo.pl



AB 1630

Sprawozdanie z pomiarów pól elektromagnetycznych - środowisko ogólne nr 41/08/OŚ/2020 - P4 - W



Nr i nazwa stacji	BIA1023	
Adres	Białystok, ul. Sienkiewicza 82, pow. Białystok, woj. podlaskie	
Opracowanie	Marcin Belicki	Specjalista ds. pomiarów
Autoryzacja	Andrzej Urbański	Kierownik Laboratorium
Podpis		
Data	2020-08-11	

Spis treści

1. Informacje ogólne.....	3
2. Podstawa prawna.	3
3. Opis pomiarów.....	3
4. Zróżnicowanie dopuszczalne poziomy pól elektromagnetycznych.	4
5. Charakterystyka źródeł PEM.....	4
6. Wyniki pomiarów.....	6
7. Stwierdzenie zgodności	9
8. Oświadczenie.	9
9. Spis załączników.	10

1. Informacje ogólne.

Zleceniodawca	P4 sp. z o.o., ul. Taśmowa 7, 02-677 Warszawa osoba udzielająca informacji – Monika Jankowska
Istotne informacje dostarczone przez zleceniodawcę	komplet informacji niezbędnych do wykonania pomiarów i opracowania sprawozdania
Prowadzący instalację	P4 sp. z o.o., ul. Taśmowa 7, 02-677 Warszawa
Lokalizacja obiektu	Białystok, ul. Sienkiewicza 82, pow. Białystok, woj. podlaskie
Miejsce instalacji anten	dach budynku
Miejsce instalacji urządzeń	outdoor
Osoby wykonujące pomiar	Łukasz Biczuk
Data wykonania pomiaru	2020-08-11
Temperatura na początku pomiaru [°C]	32
Temperatura na koniec pomiaru [°C]	33
Warunki atmosferyczne	Brak opadów.
Wilgotność na początku pomiaru [%]	52
Wilgotność na koniec pomiaru [%]	53
Inne źródła pól elektromagnetycznych	występują
Parametry pracy instalacji	eksploatacyjne

2. Podstawa prawna.

2.1 Normy i rozporządzenia:

- Rozporządzeniem Ministra Klimatu z dnia 17 lutego 2020 r. w sprawie sposobów sprawdzania dotrzymania dopuszczalnych poziomów pól elektromagnetycznych w środowisku (Dz.U. 2020 poz. 258)
- Rozporządzenie Ministra Zdrowia z dnia 17 grudnia 2019 r. w sprawie dopuszczalnych poziomów pól elektromagnetycznych w środowisku (Dz.U. 2019 poz. 2448)
- Obwieszczenie Marszałka Sejmu Rzeczypospolitej Polskiej z dnia 19 lipca 2019 r. w sprawie ogłoszenia jednolitego tekstu ustawy - Prawo ochrony środowiska (Dz.U. 2019 poz. 1396).

3. Opis pomiarów.

Metodologia pomiarowa	Pomiary w oparciu o Rozporządzeniem Ministra Klimatu z dnia 17 lutego 2020 r. w sprawie sposobów sprawdzania dotrzymania dopuszczalnych poziomów pól elektromagnetycznych w środowisku (Dz.U. 2020 poz. 258).
Cel badań	Określenie wartości natężenia pola elektrycznego w miejscach dostępnych dla ludności.
Opis zestawu pomiarowego	Miernik Narda NBM 520, Sonda EF 9091, o zakresie pomiarowym 0,8 V/m 300V/m pracująca w paśmie 80 MHz – 90 GHz, świadectwo wydane przez Laboratorium Wzorców i Metrologii Pola Elektromagnetycznego, Instytut Telekomunikacji, Teleinformatyki i Akustyki Politechniki Wrocławskiej, numer świadectwa: LWIMP/W/092/19, świadectwo ważne do 15.03.2021r. Miernik Narda NBM 520, Sonda EF 9091 pracuje w zakresie temperatury -10°C - +50°C oraz wilgotności 5%

Wyposażenie pomocnicze	- 95%. Niepewność rozszerzona wynosi 58,8% przy poziomie ufności 95% z uwzględnieniem współczynnika rozszerzenia $k=2$.
	Termohigrometr Bestone, typ: GM1362-EN-00, nr identyfikacyjny 1222436, świadectwo wzorcowania z dn. 03.04.2017r. wydane przez Laboratorium Pomiarowe "MUTECH". Przymiar wstępowy STABILA, nr seryjny 10721, świadectwo wzorcowania z dn. 19.06.2017r. wydane przez Zespół Laboratoriów wzorcujących Okręgowego Urzędu Miar w Gdańsku. GPS Garmin 64s okresowo sprawdzany w punktach osnowy geodezyjnej klasy 3 na podstawie licencji punktu, zgodnie z procedurą sprawdzeń okresowych IS/PO-16-11/03.
Szczególne warunki podczas wykonywania pomiarów	Pomiary wykonane zostały podczas obowiązywania w kraju stanu epidemii, zgodnie z art. 122a ust. 1b Ustawy z dnia 27 kwietnia 2001 r. – Prawo ochrony środowiska (Dz. U. z 2019 r. poz. 1396, z późn. zm.9))

4. Zróżnicowanie dopuszczalne poziomy pól elektromagnetycznych.

Zakresy znajdują się w Dzienniku Ustaw z dnia 17 grudnia 2019 r. przedstawione są w tabeli nr 2 (Dz. U. z 2019r. poz. 2448).

Parametr fizyczny Zakres Częstotliwości pola elektromagnetycznego	Składowa elektryczna E (V/m)	Składowa magnetyczna H (A/m)	Gęstość mocy S (W/m ²)
od 400 MHz do 2000 MHz	$1,375 \times f^{0,5}$	$0,0037 \times f^{0,5}$	$f / 200$
od 2 GHz do 300 GHz	61	0,16	10

5. Charakterystyka źródeł PEM.

Zgodnie z informacją otrzymaną od Zleceniodawcy pomiary zostały wykonane przy ustawieniach pochylenia anten zgodnych z pkt. 13, ppkt 2 załącznika do rozporządzenia Ministra Klimatu z dnia 17 lutego 2020 roku.

Anteny sektorowe

Charakterystyka promieniowania		kierunkowa									
Rzeczywisty czas pracy [h/dobę]		24									
Rodzaj wytwarzanego pola		stacjonarne									
L p	Wyszczególnienie	sektor 1					sektor 2				
I	Nadajnik stacji bazowej:										
1	Typ / Producent	DBS / Huawei									
2	Częstotliwość (pasmo) MHz	2600	800	2100	1800	900	2600	800	2100	1800	900
3	Maksymalna moc nadawana na sektor [dBm]	52,01	43,01	50,79	51,51	44,77	52,01	43,01	49,01	50,41	44,77
II	Obciążenie:										
1	Typ anteny	Huawei ATR4518R4		Huawei ATR4518R6		Huawei ATR4518R4		Huawei ATR4518R6			
2	Producent anteny	Huawei		Huawei		Huawei		Huawei			
3	Ilość anten	1		1		1		1			
4	Azymut	0					90				
5	Zakres kątów pochylenia anten [°]	0,00-5,00					0,00-5,00				
6	Wysokość zainst. n.p.t. [m]	32,65					32,65				
7	EIRP [W]	9377		13299		9377		9928			

Charakterystyka promieniowania		kierunkowa									
Rzeczywisty czas pracy [h/dobę]		24									
Rodzaj wytwarzanego pola		stacjonarne									
L p	Wyszczególnienie	sektor 3						sektor 4		sektor 5	
I	Nadajnik stacji bazowej:										
1	Typ / Producent	DBS / Huawei									
2	Częstotliwość (pasmo) MHz	2600	2100	1800	2600	2100	1800	900	800	900	800
3	Maksymalna moc nadawana na sektor [dBm]	49	47,78	48,5	49	47,78	48,5	44,77	43,01	44,77	43,01
II	Obciążenie:										
1	Typ anteny	Huawei AMB4519R6			Huawei AMB4519R6			Huawei AMB4519R0		Huawei AMB4519R0	
2	Producent anteny	Huawei			Huawei			Huawei		Huawei	
3	Ilość anten	1			1			1		1	
4	Azymut	239						240		300	
5	Zakres kątów pochylenia anten [°]	2,00-6,00						0,00-10,00		0,00-8,00	
6	Wysokość zainst. n.p.t. [m]	32,65						32,65		32,65	
7	EIRP [W]	13331			13248			2868		2957	

Charakterystyka promieniowania		kierunkowa					
Rzeczywisty czas pracy [h/dobę]		24					
Rodzaj wytwarzanego pola		stacjonarne					
Lp	Wyszczególnienie	sektor 6					
I	Nadajnik stacji bazowej:						
1	Typ / Producent	DBS / Huawei					
2	Częstotliwość (pasmo) MHz	2600	2100	1800	2600	2100	1800
3	Maksymalna moc nadawana na sektor [dBm]	49	47,78	48,5	49	47,78	48,5
II	Obciążenie:						
1	Typ anteny	Huawei AMB4519R6			Huawei AMB4519R6		
2	Producent anteny	Huawei			Huawei		
3	Ilość anten	1			1		
4	Azymut	301					
5	Zakres kątów pochylenia anten [°]	2,00-5,00					
6	Wysokość zainst. n.p.t. [m]	32,65					
7	EIRP [W]	13331			13331		

Anteny radioliniowe

Charakterystyka promieniowania				kierunkowa			
Rzeczywisty czas pracy [h/dobę]				24			
Rodzaj wytwarzanego pola				stacjonarne			
Lp	Linia radiowa			Antena			
	typ/producent	częstotliwość pracy [GHz]	moc wyjściowa [dBm]	typ/producent	średnica anteny [m]	azymut [°]	wysokość zainstal. [m]
1	OPTIX RTN/HUAWEI	80	18	VHLP2-80/Andrew	0,6	27	30,50
2	OPTIX RTN/HUAWEI	80	18	A80S03H/Huawei	0,3	172	30,50
3	OPTIX RTN/HUAWEI	80	18	A80S03H/Huawei	0,3	190	30,00

6. Wyniki pomiarów.

Wyniki pomiarów pól elektromagnetycznych dla celów ochrony środowiska przedstawia poniższa tabela. Piony pomiarowe zostały przedstawione w zał. 2.

Nr PP	Pole-E [V/m]	Pole-E*kE,+U [V/m]	Pole-H [A/m]	Pole-H*kE,+U [A/m]	Wys. pomiaru [m]	Opis pionu	Uwagi	WME	WMH
1	0,8	2,54	0,002	0,007	1,8	N: 53° 8' 21,39" E: 23° 10' 14,35"	otoczenie stacji nadawczej - ok. 50 m od obiektu wzdłuż gł. osi promieniowania - GKP	0,065	0,064
2	<0,8*	-	-	-	1,9	N: 53° 8' 23,01" E: 23° 10' 14,5"	otoczenie stacji nadawczej - ok. 100 m od obiektu wzdłuż gł. osi promieniowania - GKP	-	-
3	<0,8*	-	-	-	1,7	N: 53° 8' 24,63" E: 23° 10' 14,66"	otoczenie stacji nadawczej - ok. 150 m od obiektu wzdłuż gł. osi promieniowania - GKP	-	-
4	<0,8*	-	-	-	1,6	N: 53° 8' 26,25" E: 23° 10' 14,82"	otoczenie stacji nadawczej - ok. 200 m od obiektu wzdłuż gł. osi promieniowania - GKP	-	-
5	<0,8*	-	-	-	1,9	N: 53° 8' 27,83" E: 23° 10' 15,89"	otoczenie stacji nadawczej - ok. 250 m od obiektu wzdłuż gł. osi promieniowania - GKP	-	-
6	<0,8*	-	-	-	1,4	N: 53° 8' 29,48" E: 23° 10' 15,13"	otoczenie stacji nadawczej - ok. 300 m od obiektu wzdłuż gł. osi promieniowania - GKP	-	-
7	1,7	5,40	0,005	0,014	1,4	N: 53° 8' 31,1" E: 23° 10' 15,29"	otoczenie stacji nadawczej - ok. 350 m od obiektu wzdłuż gł. osi promieniowania - GKP	0,139	0,137
8	1,4	4,45	0,004	0,012	1,5	N: 53° 8' 19,68" E: 23° 10' 16,87"	otoczenie stacji nadawczej - ok. 50 m od obiektu wzdłuż gł. osi promieniowania - GKP	0,114	0,113

„Bez pisemnej zgody Laboratorium niniejsze sprawozdanie nie może być powielane inaczej, jak tylko w całości. Ponadto wyniki dotyczą tylko badanych obiektów przywołanych w niniejszym sprawozdaniu z badań”

9	0,8	2,54	0,002	0,007	1,9	N: 53° 8' 19,63" E: 23° 10' 18,39"	otoczenie stacji nadawczej - ok. 100 m od obiektu wzdłuż gł. osi promieniowania - GKP	0,065	0,064
10	0,8	2,54	0,002	0,007	1,4	N: 53° 8' 19,9" E: 23° 10' 21,98"	otoczenie stacji nadawczej - ok. 150 m od obiektu wzdłuż gł. osi promieniowania - GKP	0,065	0,064
11	0,8	2,54	0,002	0,007	1,7	N: 53° 8' 19,79" E: 23° 10' 24,95"	otoczenie stacji nadawczej - ok. 200 m od obiektu wzdłuż gł. osi promieniowania - GKP	0,065	0,064
12	0,8	2,54	0,002	0,007	1,7	N: 53° 8' 19,67" E: 23° 10' 27,61"	otoczenie stacji nadawczej - ok. 250 m od obiektu wzdłuż gł. osi promieniowania - GKP	0,065	0,064
13	<0,8*	-	-	-	1,8	N: 53° 8' 19,51" E: 23° 10' 29,96"	otoczenie stacji nadawczej - ok. 300 m od obiektu wzdłuż gł. osi promieniowania - GKP	-	-
14	<0,8*	-	-	-	1,7	N: 53° 8' 18,98" E: 23° 10' 32,95"	otoczenie stacji nadawczej - ok. 350 m od obiektu wzdłuż gł. osi promieniowania - GKP	-	-
15	1,5	4,76	0,004	0,013	1,5	N: 53° 8' 19,26" E: 23° 10' 12,59"	otoczenie stacji nadawczej - ok. 50 m od obiektu wzdłuż gł. osi promieniowania - GKP	0,122	0,121
16	1,5	4,76	0,004	0,013	1,9	N: 53° 8' 18,06" E: 23° 10' 9,12"	otoczenie stacji nadawczej - ok. 100 m od obiektu wzdłuż gł. osi promieniowania - GKP	0,122	0,121
17	1,3	4,13	0,003	0,011	1,8	N: 53° 8' 17,48" E: 23° 10' 6,17"	otoczenie stacji nadawczej - ok. 150 m od obiektu wzdłuż gł. osi promieniowania - GKP	0,106	0,105
18	1,3	4,13	0,003	0,011	1,4	N: 53° 8' 16,6" E: 23° 10' 4,32"	otoczenie stacji nadawczej - ok. 200 m od obiektu wzdłuż gł. osi promieniowania - GKP	0,106	0,105
19	1,2	3,81	0,003	0,010	1,5	N: 53° 8' 15,88" E: 23° 10' 1,92"	otoczenie stacji nadawczej - ok. 250 m od obiektu wzdłuż gł. osi promieniowania - GKP	0,098	0,097
20	0,9	2,86	0,002	0,008	1,9	N: 53° 8' 15,15" E: 23° 9' 59,52"	otoczenie stacji nadawczej - ok. 300 m od obiektu wzdłuż gł. osi promieniowania - GKP	0,073	0,072
21	0,8	2,54	0,002	0,007	1,4	N: 53° 8' 14,42" E: 23° 9' 57,12"	otoczenie stacji nadawczej - ok. 350 m od obiektu wzdłuż gł. osi promieniowania - GKP	0,065	0,064
22	0,9	2,86	0,002	0,008	1,7	N: 53° 8' 20,43" E: 23° 10' 11,71"	otoczenie stacji nadawczej - ok. 50 m od obiektu wzdłuż gł. osi promieniowania - GKP	0,073	0,072
23	0,8	2,54	0,002	0,007	1,8	N: 53° 8' 21,56" E: 23° 10' 9,74"	otoczenie stacji nadawczej - ok. 100 m od obiektu wzdłuż gł. osi promieniowania - GKP	0,065	0,064
24	0,8	2,54	0,002	0,007	1,5	N: 53° 8' 21,93" E: 23° 10' 7,17"	otoczenie stacji nadawczej - ok. 150 m od obiektu wzdłuż gł. osi promieniowania - GKP	0,065	0,064
25	<0,8*	-	-	-	1,4	N: 53° 8' 23,17" E: 23° 10' 5,05"	otoczenie stacji nadawczej - ok. 200 m od obiektu wzdłuż gł. osi promieniowania - GKP	-	-
26	0,8	2,54	0,002	0,007	1,7	N: 53° 8' 23,9" E: 23° 10' 3,04"	otoczenie stacji nadawczej - ok. 250 m od obiektu wzdłuż gł. osi promieniowania - GKP	0,065	0,064
27	0,9	2,86	0,002	0,008	1,3	N: 53° 8' 24,67" E: 23° 10' 0,24"	otoczenie stacji nadawczej - ok. 300 m od obiektu wzdłuż gł. osi promieniowania - GKP	0,073	0,072
28	0,8	2,54	0,002	0,007	1,7	N: 53° 8' 25,77" E: 23° 9' 58,39"	otoczenie stacji nadawczej - ok. 350 m od obiektu wzdłuż gł. osi promieniowania - GKP	0,065	0,064
29	0,9	2,86	0,002	0,008	2,0	N: 53° 8' 21,21" E: 23° 10' 15,59"	otoczenie stacji nadawczej - ok. 50 m od obiektu wzdłuż gł. osi promieniowania - GKP	0,073	0,072
30	0,8	2,54	0,002	0,007	1,7	N: 53° 8' 22,75" E: 23° 10' 16,37"	otoczenie stacji nadawczej - ok. 100 m od obiektu wzdłuż gł. osi promieniowania - GKP	0,065	0,064
31	0,9	2,86	0,002	0,008	1,5	N: 53° 8' 23,93" E: 23° 10' 18,24"	otoczenie stacji nadawczej - ok. 150 m od obiektu wzdłuż gł. osi promieniowania - GKP	0,073	0,072
32	0,8	2,54	0,002	0,007	1,5	N: 53° 8' 17,9" E: 23° 10' 14,19"	otoczenie stacji nadawczej - ok. 50 m od obiektu wzdłuż gł. osi promieniowania - GKP	0,065	0,064
33	0,9	2,86	0,002	0,008	1,5	N: 53° 8' 16,33" E: 23° 10' 14,32"	otoczenie stacji nadawczej - ok. 100 m od obiektu wzdłuż gł. osi promieniowania - GKP	0,073	0,072
34	0,8	2,54	0,002	0,007	1,8	N: 53° 8' 14,82" E: 23° 10' 14,77"	otoczenie stacji nadawczej - ok. 150 m od obiektu wzdłuż gł. osi promieniowania - GKP	0,065	0,064
35	0,9	2,86	0,002	0,008	1,9	N: 53° 8' 17,94" E: 23° 10' 13,03"	otoczenie stacji nadawczej - ok. 50 m od obiektu wzdłuż gł. osi promieniowania - GKP	0,073	0,072
36	<0,8*	-	-	-	1,3	N: 53° 8' 16,45" E: 23° 10' 12,54"	otoczenie stacji nadawczej - ok. 100 m od obiektu wzdłuż gł. osi promieniowania - GKP	-	-
37	0,9	2,86	0,002	0,008	1,5	N: 53° 8' 14,85" E: 23° 10' 11,68"	otoczenie stacji nadawczej - ok. 150 m od obiektu wzdłuż gł. osi promieniowania - GKP	0,073	0,072
38	0,8	2,54	0,002	0,007	1,4	N: 53° 8' 21,04" E: 23° 10' 19,21"	otoczenie stacji nadawczej - PKP	0,065	0,064
39	0,9	2,86	0,002	0,008	1,7	N: 53° 8' 21,34" E: 23° 10' 21,84"	otoczenie stacji nadawczej - PKP	0,073	0,072
40	0,8	2,54	0,002	0,007	1,8	N: 53° 8' 18,54" E: 23° 10' 21,96"	otoczenie stacji nadawczej - PKP	0,065	0,064
41	0,9	2,86	0,002	0,008	1,4	N: 53° 8' 18,36" E: 23° 10' 19,1"	otoczenie stacji nadawczej - PKP	0,073	0,072

„Bez pisemnej zgody Laboratorium niniejsze sprawozdanie nie może być powielane inaczej, jak tylko w całości. Ponadto wyniki dotyczą tylko badanych obiektów przywołanych w niniejszym sprawozdaniu z badań”

42	0,8	2,54	0,002	0,007	1,6	N: 53° 8' 18,73" E: 23° 10' 16,32"	otoczenie stacji nadawczej - PKP	0,065	0,064
43	0,9	2,86	0,002	0,008	1,4	N: 53° 8' 18,49" E: 23° 10' 13,08"	otoczenie stacji nadawczej - PKP	0,073	0,072
44	1,1	3,49	0,003	0,009	1,7	N: 53° 8' 17,6" E: 23° 10' 9,92"	otoczenie stacji nadawczej - PKP	0,090	0,089
45	1,2	3,81	0,003	0,010	1,9	N: 53° 8' 16,15" E: 23° 10' 7,48"	otoczenie stacji nadawczej - PKP	0,098	0,097
46	1,3	4,13	0,003	0,011	1,5	N: 53° 8' 18,77" E: 23° 10' 5,94"	otoczenie stacji nadawczej - PKP	0,106	0,105
47	1,2	3,81	0,003	0,010	1,6	N: 53° 8' 19,02" E: 23° 10' 8,65"	otoczenie stacji nadawczej - PKP	0,098	0,097
48	1,3	4,13	0,003	0,011	1,3	N: 53° 8' 19,74" E: 23° 10' 11,26"	otoczenie stacji nadawczej - PKP	0,106	0,105
49	1,2	3,81	0,003	0,010	1,3	N: 53° 8' 21,06" E: 23° 10' 8,44"	otoczenie stacji nadawczej - PKP	0,098	0,097
50	1,2	3,81	0,003	0,010	1,6	N: 53° 8' 21,27" E: 23° 10' 6,38"	otoczenie stacji nadawczej - PKP	0,098	0,097
51	1,2	3,81	0,003	0,010	1,9	N: 53° 8' 22,81" E: 23° 10' 8,04"	otoczenie stacji nadawczej - PKP	0,098	0,097
52	1,3	4,13	0,003	0,011	1,3	N: 53° 8' 22,15" E: 23° 10' 10,37"	otoczenie stacji nadawczej - PKP	0,106	0,105
53	1,2	3,81	0,003	0,010	1,6	N: 53° 8' 21,75" E: 23° 10' 12,38"	otoczenie stacji nadawczej - PKP	0,098	0,097
54	1,1	3,49	0,003	0,009	1,9	N: 53° 8' 23,22" E: 23° 10' 13,35"	otoczenie stacji nadawczej - PKP	0,090	0,089
55	1,1	3,49	0,003	0,009	1,3	N: 53° 8' 24,6" E: 23° 10' 13,36"	otoczenie stacji nadawczej - PKP	0,090	0,089
56	1,3	4,13	0,003	0,011	1,7	N: 53° 8' 24,33" E: 23° 10' 17,17"	otoczenie stacji nadawczej - PKP	0,106	0,105
A	<0,8*	-	-	-	1,8	-	ul. Sienkiewicza 82, pomiar przy oknie na VII piętrze - DPP	-	-
B	1,3	3,41	0,003	0,009	1,5	-	ul. Sienkiewicza 67, pomiar przed wejściem, budynek prokuratury - DPP	0,088	0,086
C	1,8	4,72	0,005	0,013	1,4	-	ul. Sienkiewicza 69, pomiar przed wejściem - DPP	0,121	0,120
D	1,3	3,41	0,003	0,009	1,4	-	ul. Sienkiewicza 71/73, pomiar przed wejściem - DPP	0,088	0,086
E	1,4	3,67	0,004	0,010	1,2	-	ul. Sienkiewicza 73, pomiar przed wejściem - DPP	0,094	0,093
F	<0,8*	-	-	-	1,9	-	ul. Fabryczna 20, pomiar przed wejściem - DPP	-	-
G	<0,8*	-	-	-	1,5	-	ul. Fabryczna 22, pomiar przed wejściem - DPP	-	-
H	1,4	3,67	0,004	0,010	1,8	-	ul. Wąska 6, pomiar przed wejściem - DPP	0,094	0,093
I	<0,8*	-	-	-	1,5	-	ul. Sienkiewicza 86, pomiar przed wejściem - DPP	-	-
J	<0,8*	-	-	-	1,6	-	ul. Sienkiewicza 84, pomiar przed wejściem - DPP	-	-
K	1,5	3,93	0,004	0,010	1,9	-	ul. Złota 4, pomiar przed wejściem - DPP	0,101	0,100
L	0,8	2,10	0,002	0,006	1,6	-	ul. Łąkowa 16A, pomiar przed wejściem - DPP	0,054	0,053
M	<0,8*	-	-	-	1,9	-	ul. Łąkowa 18, pomiar na klatce schodowej na I piętrze przy oknie - DPP	-	-
N	1,0	2,62	0,003	0,007	1,6	-	warsztat, pomiar przed wejściem - DPP	0,067	0,066
O	1,9	4,98	0,005	0,013	1,9	-	ul. Sienkiewicza 58, pomiar przed wejściem - DPP	0,128	0,126
P	1,7	4,45	0,005	0,012	1,3	-	ul. Sienkiewicza 60, pomiar przed wejściem - DPP	0,115	0,113
Q	1,2	3,14	0,003	0,008	1,9	-	ul. Sienkiewicza 68, pomiar przed wejściem - DPP	0,081	0,080
R	1,0	2,62	0,003	0,007	1,9	-	ul. Sienkiewicza 70, pomiar przed wejściem - DPP	0,067	0,066
S	1,7	4,45	0,005	0,012	1,3	-	ul. Sienkiewicza 72, pomiar przed wejściem - DPP	0,115	0,113
T	1,2	3,14	0,003	0,008	1,6	-	ul. Sienkiewicza 65, pomiar przed wejściem - DPP	0,081	0,080
U	0,8	2,10	0,002	0,006	1,9	-	ul. Fabryczna 34, pomiar przed wejściem - DPP	0,054	0,053
V	<0,8*	-	-	-	1,4	-	ul. Fabryczna 37, pomiar przed wejściem - DPP	-	-
W	0,8	2,10	0,002	0,006	1,3	-	ul. Ciepła 32, szkoła, pomiar przed wejściem - DPP	0,054	0,053

„Bez pisemnej zgody Laboratorium niniejsze sprawozdanie nie może być powielane inaczej, jak tylko w całości. Ponadto wyniki dotyczą tylko badanych obiektów przywołanych w niniejszym sprawozdaniu z badań”

X	<0,8*	-	-	-	1,3	-	pawilony, pomiar przed wejściem - DPP	-	-
Y	<0,8*	-	-	-	1,9	-	ul. Nowogrodzka 2C, pomiar przed wejściem - DPP	-	-
Z	1,5	3,93	0,004	0,010	1,7	-	ul. Ogrodowa 2, pomiar przed wejściem - DPP	0,101	0,100
ZA	<0,8*	-	-	-	1,4	-	ul. Fabryczna 4, pomiar przed wejściem - DPP	-	-
ZB	<0,8*	-	-	-	1,5	-	budynek gospodarczy, pomiar przed wejściem - DPP	-	-
ZC	2,5	6,55	0,007	0,017	1,8	-	ul. Sienkiewicza 57, pomiar przed wejściem - DPP	0,168	0,166
ZD	1,8	4,72	0,005	0,013	1,8	-	ul. Sienkiewicza 63, pomiar przed wejściem - DPP	0,121	0,120
ZE	1,2	3,14	0,003	0,008	1,5	-	ul. Złota 6, pomiar przed wejściem - DPP	0,081	0,080
ZF	<0,8*	-	-	-	1,9	-	ul. Złota 7, pomiar przed wejściem - DPP	-	-
ZG	<0,8*	-	-	-	1,4	-	ul. Złota 9, pomiar przed wejściem - DPP	-	-
ZH	1,0	2,62	0,003	0,007	1,3	-	ul. Sobieskiego 26, pomiar na III piętrze przy oknie na klatce schodowej - DPP	0,067	0,066
ZI	0,8	2,10	0,002	0,006	1,5	-	ul. Sobieskiego 26A, pomiar na klatce schodowej przy oknie na III piętrze - DPP	0,054	0,053
ZJ	<0,8*	-	-	-	1,7	-	ul. Kraszewskiego 23A, pomiar na III piętrze na klatce schodowej - DPP	-	-

* poniżej czułości zestawu pomiarowego

GKP – główne kierunki pomiarowe

PKP – pomocnicze kierunki pomiarowe

DPP – dodatkowe punkty pomiarowe

PP – pion pomiarowy

U – niepewność pomiarowa dla współczynnika rozszerzenia $k=2$

k_E – poprawka pomiarowa badanej instalacji radiokomunikacyjnej podana przez operatora ($k_E=1,65$),

poprawka pomiarowa w przypadku oddziaływania innych instalacji radiokomunikacyjnych na badany obszar ($k_E=2,0$)

WME – wartość wskaźnikowa poziomu emisji pól elektromagnetycznych dla miejsc dostępnych dla ludności dla składowej elektrycznej pola

WMH – wartość wskaźnikowa poziomu emisji pól elektromagnetycznych dla miejsc dostępnych dla ludności dla składowej magnetycznej pola

Przyjęto najniższą dopuszczalną wartość składowej elektrycznej pola dla objętego pomiarami zakresu częstotliwości $\min(ME_{gr})=38,89$ V/m oraz składowej magnetycznej $\min(MH_{gr})=0,105$ A/m.

7. Stwierdzenie zgodności

Na podstawie wytycznych podanych w Rozporządzeniu Ministra Zdrowia z dnia 17 grudnia 2019 r. w sprawie dopuszczalnych poziomów pól elektromagnetycznych w środowisku (Dz.U. 2019 poz. 2448) oraz sposobów sprawdzania dotrzymania tych poziomów zgodnie z Rozporządzeniem Ministra Klimatu z dnia 17 lutego 2020 r. w sprawie sposobów sprawdzania dotrzymania dopuszczalnych poziomów pól elektromagnetycznych w środowisku (Dz.U. 2020 poz. 258) dotyczących źródła wymagań, które muszą być spełnione (załącznik do rozporządzenia Ministra Klimatu z dnia 17 lutego 2020 r. (poz. 258)), w oparciu o zasadę podejmowania decyzji zgodną z pkt 26 załącznika do rozporządzenia Ministra Klimatu z dnia 17 lutego 2020 r. (poz. 258), na podstawie wyników pomiarów pól elektromagnetycznych wykonanych w dniu 11.08.2020r. stwierdzono, iż w miejscach dostępnych dla ludności, dopuszczalne poziomy pól elektromagnetycznych w środowisku, określone w przepisach wydanych na podstawie art. 122 ust. 1 ustawy z dnia 27 kwietnia 2001 r. – Prawo ochrony środowiska, uznaje się za dotrzymane w obszarze pomiarowym, w którym w wyniku zastosowania sposobu sprawdzenia dotrzymania dopuszczalnych poziomów pól elektromagnetycznych w środowisku, udokumentowano, że żadna z wartości wskaźnikowych nie przekracza wartości 1.

8. Oświadczenie.

Wyniki badania odnoszą się wyłącznie do badanego obiektu.

Bez pisemnej zgody sprawozdanie nie może być powielane inaczej, jak tylko w całości.

Uwagi i zastrzeżenia przyjmowane są w formie pisemnej w ciągu 14 dni od daty otrzymania sprawozdania.

9. Spis załączników.

Załącz. 1. Lokalizacja obiektu.

Załącz. 2. Widok pionów pomiarowych

Załącz. 3. Załączniki graficzne.

Koniec sprawozdania

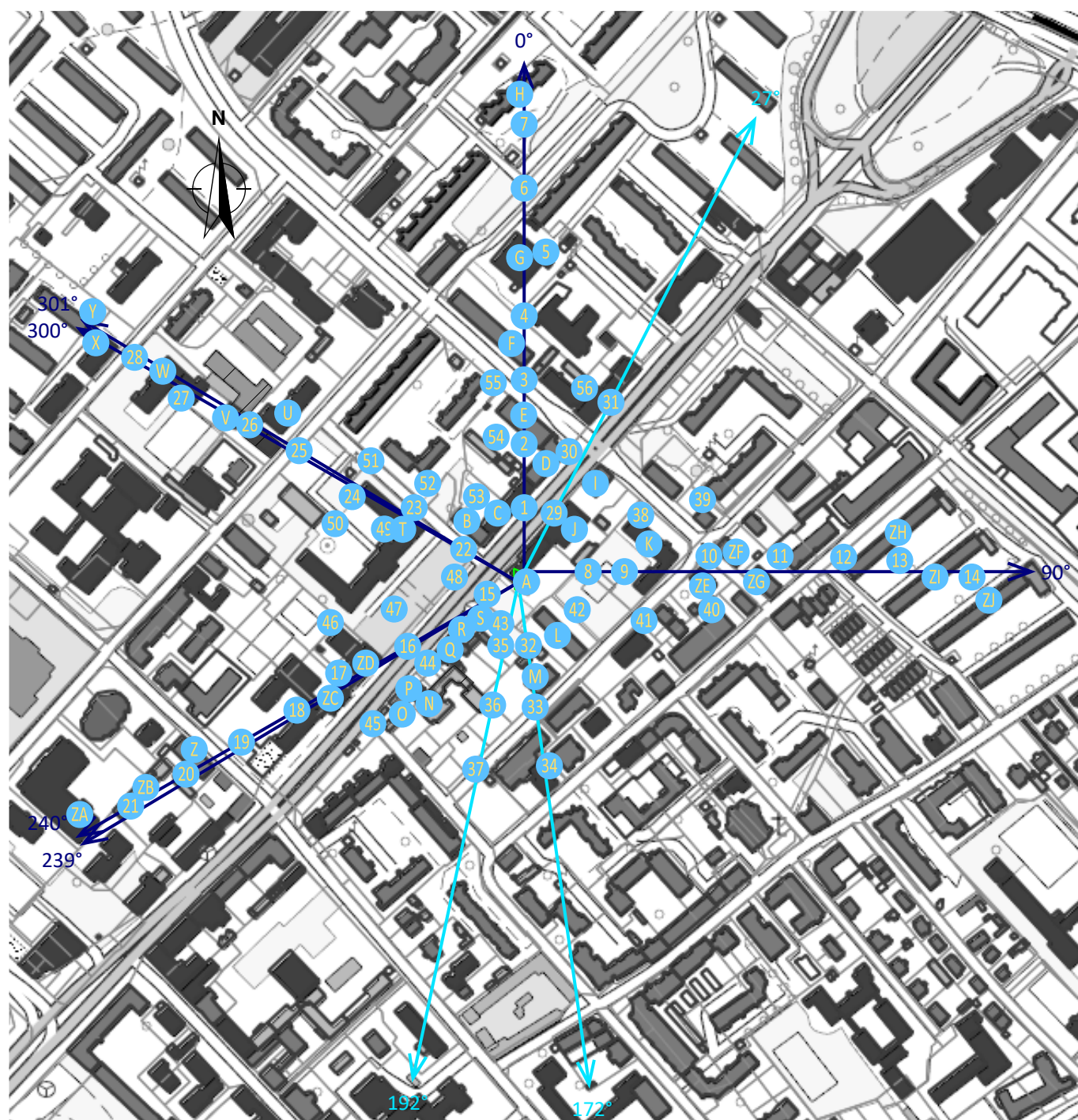
Załącznik 1. Lokalizacja obiektu




województwo: podlaskie

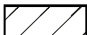
Współrzędne geograficzne	
długość:	E: 23° 10' 13,92"
szerokość:	N: 53° 8' 19,51"


Załącznik 2. Widok pionów pomiarowych




LEGENDA:

 inna instalacja radiokomunikacyjna

 brak dostępu

 punkt pomiarowy z poprawką pomiarową podaną przez operatora

 punkt pomiarowy będący w zasięgu innych instalacji radiokomunikacyjnych z poprawką pomiarową 2,0

 antena sektorowa

 antena radioliniowa

Odległość, do której zostały wykonane pomiary mierząc od instalacji antenowej wynosi min. 327 m.

Skala: 1:4800

